

PACS: 11.25. Tq.11.25.Wx. 13.75.Lb.

## ADS/KXD MODELİNDƏ VEKTOR MEZONLARIN QRAVİTASIYA FORM FAKTORLARI

<sup>1,2,3</sup>Ş.Ə.MƏMMƏDOV, <sup>3</sup>M.N.ALLAHVERDİYEVA

<sup>1</sup>Fizika Problemləri İnstitutu,

<sup>2</sup>Bakı Dövlət Universiteti, Nəzəri Fizika kafedrası,

<sup>3</sup>AMEA, Fizika İnstitutu

sh.mamedov62@gmail.com, minaallahverdiyeva@yahoo.com

*AdS/KSN uyğunluğundan istifadə edərək vektor mezonların qravitasiya form faktorları hesablanmışdır. Eyni zamanda gərginlik tenzoru və ya enerji-impuls tenzoru form faktorları kimi adlandırılan qravitasiya form faktorlarını vektor mezona bağlayan ümumi qaydalar verilmişdir.*

**Açar sözlər:** AdS/ KSN uyğunluğu, sərt-divar modeli, nuklon.

### Giriş

Anti-de Sitter fəzası (AdS) / Kvant xromo-dinamikası (KXD)-nin sərt divar modelindən istifadə edərək vektor mezonların qravitasiya form faktorlarını hesablamaq ümumiləşmiş parton paylanmalarının tətbiqi üçün əhəmiyyətlidir.

AdS/KSN uyğunluğu 4-ölçülü güclü qarşılıqlı təsir nəzəriyyələrindəki qeyri-perturbativ kəmiyyətləri, 5-ölçülü nəzəriyyədəki qravitasiya perturbativ kəmiyyətlər ilə birləşdirməyi təklif edir [1]. Bu birləşdirmənin bir neçə tətbiqləri var; [2,3,4,5,6,7,8,9,10,11,12,13].

Qravitasiya form faktorlarına olan marağın bir hissəsi ümumiləşdirilmiş parton paylanmaları (ÜPP-ları) ilə olan əlaqəsinə görədir. ÜPP-ları hadron strukturunun vacib bir kəmiyyətləridir. ÜPP-larının momentləri qravitasiya form faktorları ilə əlaqəlidir. Xüsusilə, qravitasiya form faktorlarından biri partonlar tərəfindən daşınılan impuls momentini ölçür.

AdS/KSN uyğunluğu [1], güclü qarşılıqlı təsir ilə birləşdirilmiş böyük  $N_c$ , 4-ölçülü konformal sahə nəzəriyyəsi ilə 5-ölçülü AdS fəzasında zəif qarşılıqlı təsiri qravitasiya nəzəriyyəsinə əlaqələndirir. AdS/KSN uyğunluğu həm simlər nəzəriyyəsindən başlayaraq “yuxarıdan aşağıya” yanaşma [2,4], həm də 5-ölçülü qravitasiya dual nəzəriyyəsini qurmaq üçün KXD-nin xüsusiyyətlərini istifadə edən “aşağıdan yuxarıya” yanaşma ilə [5,6,7,8,9] öyrənilmişdir.

AdS/KXD-nin sərt divar modelində 5-ölçülü AdS fəzasının həyəcanlaş-

mayan metrikası aşağıdakı kimidir:

$$ds^2 = \frac{1}{z^2} (\eta_{\mu\nu} dx^\mu dx^\nu - dz^2), \quad \varepsilon < z < z_0. \quad (1)$$

Burada  $\eta_{\mu\nu} = \text{diag}(1, -1, -1, -1)$ .  $\varepsilon \rightarrow 0$ -da  $z = \varepsilon$  divarı KXD-nin ultrabənövşəyi (UB) sərhəddinə uyğun gəlir və  $z = z_0 \equiv 1/\Lambda_{QCD}$ -də yerləşən divar, infraqırmızı (İQ) bölgəsində KXD-nin konform simmetriyasının pozulması üçün miqyası müəyyənləşdirər. [Kiçik Yunan indeksləri 0-dan 3-ə, kiçik Latın indeksləri isə 0,1,2,3,5-dən yuxarı olacaq] AdS/KSN daxilində 4-ölçülü sahə nəzəriyyəsidəki hər  $\mathcal{O}(x)$  operatoru, 5-ölçülü AdS fəzası daxilindəki mənbə sahəsinə  $\varphi(x, z)$  uyğun gəlir. [5, 6]-da təqdim olunan modelə görə, uyğunluqdan ikisi aşağıdakı şəkildə olur

$$J_L^{a\mu}(x) \leftrightarrow A_L^{a\mu}(x, z), \quad J_R^{a\mu}(x) \leftrightarrow A_R^{a\mu}(x, z). \quad (2)$$

Burada  $J_L^{a\mu} = \bar{q}_L \gamma^\mu t^a q_L$  və  $J_R^{a\mu} = \bar{q}_R \gamma^\mu t^a q_R$  kiral rayihə cərəyanlarıdır.

Ümumi nisbiliyin Laqranj formalizmində gərginlik tenzoru  $T_{\mu\nu}$  üçün mənbə  $g_{\mu\nu}$  metrikasıdır və variasiya  $h_{\mu\nu}$  həddinə görədir. Randall-Sundrum kabrləşməsində  $h_{\mu\nu}$ -dən istifadə edəcəyik, burada  $h_{\mu\nu}$  eninə və izsizdir (Eİ) və eyni zamanda  $h_{\mu z} = h_{z z} = 0$  ödəyir. Eİ kalibrəşməsindəki metrik tenzorun variasiyaları bizə sadəcə kalibrəşmə tenzorunun eninə-izsiz hissəsini verəcəkdir.

### Gravitasiya sektoru

5-ölçülü AdS fəzasında təsir aşağıdakı şəkildədir:

$$S_{5D} = \int d^5x \sqrt{g} \left\{ R + 12 + \text{Tr} \left[ |DX|^2 + 3|X|^2 - \frac{1}{4g_5^2} (F_L^2 + F_R^2) \right] \right\}. \quad (3)$$

Burada  $F_{mn} = \partial_m A_n - \partial_n A_m - i[A_m, A_n]$ ,  $A_{L,R} = A_{L,R}^a t^a$ ,  $\text{Tr}(t^a t^b) = \delta^{ab}/2$  və  $D^m X = \partial^m X - iA_L^m X + iXA_R^m$ . Bu məsələ üçün yalnız lazım olan sahələri göstərdik və Dirixle sərhəd şərtlərini  $z_0$  sərhəddinə qoyuruq.

Təsin gravitasiya hissəsi belə olur:

$$S_G = \int d^5x \sqrt{g} (R + 12). \quad (4)$$

Burada AdS fəzasının metrikası həyəcanlanmış metrikadır:

$$ds^2 = \frac{1}{z^2} \left( (\eta_{\mu\nu} + h_{\mu\nu}) dx^\mu dx^\nu - dz^2 \right), \quad 0 < z < z_0. \quad (5)$$

$h_{zz} = 0, h_{z\mu} = 0$  kalibrəşmə seçimlərindən istifadə edilmişdir. Xəttiləşdirilmiş Eynşteyn tənliklərinin  $\mu\nu, \mu z$  və  $zz$  komponentləri aşağıdakı şəkildədir:

$$\begin{aligned} 0 &= -h_{\mu\nu,zz} + \frac{3}{z} h_{\mu\nu,z} + h_{\mu\nu,\rho}{}^\rho - 2h^\rho{}_{(\mu,\nu)\rho} + \eta_{\mu\nu} \left( \tilde{h}_{,zz} - \frac{3}{z} \tilde{h}_{,z} - \right. \\ &\quad \left. \tilde{h}_{,\rho}{}^\rho + h_{\rho\sigma,}{}^{\rho\sigma} \right) + \tilde{h}_{,\mu\nu} \\ 0 &= \tilde{h}_{,\mu\nu} - h_{\mu\nu,z}{}^z \\ 0 &= \frac{3}{z} \tilde{h}_{,z} + \tilde{h}_{,\rho}{}^\rho - h_{\rho\sigma,}{}^{\rho\sigma}. \end{aligned} \quad (6)$$

$h_{\mu\nu}$ -nün izi  $\tilde{h}$  ilə göstərilir. Eninə-izsiz kalibrəşmədə,  $h_{\mu\nu,}{}^{\nu} = 0$  və  $h_{\mu}{}^{\mu} = 0$ -dır. Hərəkət tənliyi aşağıdakı şəkildə düşür:

$$-z^3 \partial_z \left( \frac{1}{z^3} \partial_z h_{\mu\nu} \right) + \partial^\rho \partial_\rho h_{\mu\nu} = 0. \quad (7)$$

Həllin 4-ölçülü Furrye çevrilməsi  $h_{\mu\nu}(q, z) = h(q, z)h_{\mu\nu}^0(q)$  kimi yazılır.  $h(q, \epsilon) = 1$  olmasını tələb edirik, beləliklə  $h_{\mu\nu}^0(q)$  gravitonun UB sərhəd qiymətinin Furrye çevrilməsidir. İQ sərhəd şərti  $\partial_z h(q, z_0) = 0$  olur. Bu sərhəd şərti ilə təsiri dəyişdirərkən əldə edilən İQ sərhəd şərtindən səth həddi yox olur. (7) tənliyindən alırıq:

$$h(q, z) = \frac{\pi}{4} q^2 z^2 \left( \frac{Y_1(qz_0)}{J_1(qz_0)} J_2(qz) - Y_2(qz) \right). \quad (8)$$

İki indeksli  $T^{\mu\nu}$  tenzorunun simmetrikliliyindən 10 asılı olmayan komponent olduğu nəticəsinə gəlirik. Enerji-impuls saxlanması  $q_\mu T^{\mu\nu} = 0$  bunu altı asılı olmayan komponentə endirir.  $T^{\mu\nu}$  beş sərbəst komponentli eninə izsiz  $\hat{T}^{\mu\nu}$  hissəsinə parçalaya bilər. Bu isə öz növbəsində, eninə-izsiz hissəni  $\tilde{T}^{\mu\nu} = \frac{1}{3}(\eta^{\mu\nu} - q^\mu q^\nu / q^2)T$  ilə verilən asılı olmayan komponentlə buraxır, burada  $T^{\mu\nu}$  aşağıdakı şəkildə təyin olunur:

$$T^{\mu\nu} = \hat{T}^{\mu\nu} + \frac{1}{3}(\eta^{\mu\nu} - \frac{q^\mu q^\nu}{q^2})T. \quad (9)$$

Bu saxlanan operator eninə mənbə operatoruna vurulur. Eninə və izsiz  $h_{\mu\nu}^0$  variyasiyası təkcə  $\hat{T}^{\mu\nu}$  ilə qarşılıqlı təsirdə ola bilər.

### Vektor sektoru

Təsirin ifadəsindəki  $V = (A_L + A_R)/2$  vektor sahəsi və  $A = (A_L - A_R)/2$  aksial vektor sahəsi bu şəkildə təyin olunur. Biz bu işdə vektor zərrəciyə baxdığımızdan təkcə vektor hissəni nəzərə almalıyıq. Bu zaman təsirin ifadəsi:

$$S_V = \int d^5x \sqrt{g} Tr \left\{ -\frac{1}{2g_5^2} F_V^2 \right\}. \quad (10)$$

olur. Burada  $(F_V)_{mn} = \partial_m V_n - \partial_n V_m$  təsirdə ikinci tərtibə qədərdir. Bu hissədə istifadə olunan metrika dinamik deyildir, yəni sadəcə tənlik (5)-in həyəcanlaşmamış hissəsidir.

$V_z = 0$  kalibrləşməsində vektor sahənin eninə hissəsi aşağıdakı hərəkət tənliyini ödəyir:

$$\left( \partial_z \left( \frac{1}{z} \partial_z V_\mu^a(q, z) \right) + \frac{q^2}{z} V_\mu^a \right)_\perp = 0. \quad (11)$$

Bu hərəkət tənliyinin həllini aşağıdakı kimi yazmaq olar:

$$V_{\perp\mu}(q, z) = V(q, z) V_\mu^0(q), \quad (12)$$

burada  $V_\mu^0(q)$  4-ölçülü vektor cərəyan operatoru  $J_V^a = \bar{q} \gamma_\mu t^a q$ -nin mənbəsinin Furrye çevrilməsidir. Cərəyanın saxlanması,  $q_\mu J_V^\mu = 0$ , mənbənin eninə olmasını təmin edir. Buna görə təkcə 5-ölçülü vektor sahənin eninə hissəsi UB sərhəddindəki  $J_V^\mu$ -nin mənbəsi kimi hesab olunur.

$V(q, z)$  vektor sahə üçün daxildən sərhəddə propoqatoru adlanır və onun üçün sərhəd şərtləri  $V(q, \epsilon) = 1$  və  $\partial_z V(q, z_0) = 0$ -dir. Bu zaman daxildən sərhəddə propoqatoru aşağıdakı şəkildə olur:

$$V(q, z) = \frac{\pi}{2} z q \left( \frac{Y_0(qz_0)}{J_0(qz_0)} J_1(qz) - Y_1(qz) \right). \quad (13)$$

Vektor sahə üçün UB sərhəddə təsirin ifadəsində bu həlli nəzərə alsaq yalnız səth həlləri qalmış olur:

$$S_V = \int \frac{d^4 q}{(2\pi)^4} V^{0\mu}(q) V_\mu^0(q) \left( -\frac{\partial_z v(q, z)}{2g_5^2 z} \right)_{z=\epsilon}. \quad (14)$$

$\rho$  mezonun Kaluza-Klein (KK) toplusu (12) tənliyinin  $q^2 = m_n^2$  ilə normallaşmış həllərindən alınə bilər.  $n$ -ci KK modası  $\rho$  mezonun dalğa funksiyası olan  $\psi_n(x, z)$  üçün sərhəd şərtləri  $\psi_n(z = 0) = 0$  və  $\partial_z \psi_n(z_0) = 0$  şəklindədir. Bu moda üçün həllər belədir:

$$\psi_n = \frac{\sqrt{z}}{z_0 J_1(m_n z_0)} z J_1(m_n z), \quad (15)$$

və  $\int (dz/z) \psi_n^2(z) = 1$  normallaşdırma şərtini ödəyir.

(10)-ci tənliyin həlli üçün Qrin funksiyası metodundan istifadə edərək, daxildən sərhəddə propoqatorunun  $\rho$  mezonun KK modalarının sonsuz toplusu üzərində yekun olaraq yazıla biləcəyini göstərmək olar

$$V(q, z) = -g_5 \sum_n \frac{F_n \psi_n(z)}{q^2 - m_n^2}. \quad (16)$$

Burada,  $F_n = (1/g_5) \left( -\frac{1}{z'} \partial_{z'} \psi_n(z') \right) \Big|_{z'=\epsilon}$ -dir. Bessel funksiyalarının Kneser-Sommerfeld ayrılışı daxil edilərək oxşar nəticələr əldə edilə bilər.  $F_n$  sabiti vektor mezonun parçalanma sabitidir və aşağıdakı şəkildə müəyyən edilir:

$$\langle 0 | J_\mu^a(0) | \rho_n^b(p) \rangle = F_n \delta^{ab} \epsilon_\mu(p). \quad (17)$$

Bunu vektor cərəyanlarının 2 nöqtəli funksiyasını hesablamaqla görmək olar. (14) tənliyindəki 5-ölçülü təsiri  $V^0$ -a görə funksional törəmələr alaraq və  $V^0$ -ın eninə olmasından istifadə edərək  $V^{0\mu} V_{\mu-1}^0 V^{0\mu} \Pi_{\mu\nu} V^{0\nu}$  ilə əvəz edirik:

$$i \int d^4 x e^{iqx} \langle 0 | \mathcal{T} J_\mu^a(x) J_\nu^b(0) | 0 \rangle = \Sigma(q^2) \Pi_{\mu\nu} \delta^{ab}, \quad (18)$$

Burada,  $\Pi_{\mu\nu} = (\eta_{\mu\nu} - q_\mu q_\nu / q^2)$  eninə proyektordur və  $\Sigma(q^2)$  aşağıdakı şəkildə təyin olunur:

$$\Sigma(q^2) = - \frac{\partial_z V(q, z)}{g_5^2 z} \Big|_{z=\epsilon} = \frac{1}{g_5^2 z} \sum_n \frac{(\psi'_n(\epsilon)/\epsilon)^2}{q^2 - m_n^2 + i\epsilon}. \quad (19)$$

(17) bərabərliyindən istifadə edərək tənlik (18)-un sağ tərəfini aşağıdakı kimi yazıla bilər:

$$i \int d^4 x e^{iqx} \langle 0 | \mathcal{T} J_\mu^a(x) J_\nu^b(0) | 0 \rangle = \sum_n \frac{F_n^2 \delta^{ab}}{q^2 - m_n^2 + i\epsilon} \Pi_{\mu\nu}, \quad (20)$$

Bu tənlik (16)-dəki  $F_n$ -nin  $\rho$  mezonun parçalanma sabiti olaraq şərh edilməsini təstiqləyir.

### Vektor mezonların qravitasiya form faktorları

Spini 1 olan zərrəciklərin gərginlik tenzorunun matris elementləri

$\langle \rho_n^a(p_1) | T^{\mu\nu}(q) | \rho_n^b(p_2) \rangle$  ilə təyin edilir və 3 nöqtəli funksiyaadan çıxarıla bilər:

$$\langle 0 | T(J_a^\alpha(x) T^{\mu\nu}(y) J_b^\beta(\omega)) | 0 \rangle. \quad (21)$$

Yuxarıdakı 3 nöqtəli funksiyanın Furye çevrilməsi  $J^{\alpha\alpha}(-p_2) T^{\mu\nu}(q) J^{\beta\beta}(-p_1)$  olaraq ifadə edilə bilər. Görilmə tenzorunun matris elementlərini taparkən tamlıq şərtindən iki dəfə istifadə edirik:

$$\sum_n \frac{d^3 p}{(2\pi)^3 2p^0} |\rho_n^a(p)\rangle \langle \rho_n^a(p)| = 1 \quad (22)$$

və sonra

$$\varepsilon_\alpha^*(p_2, \lambda_2) \varepsilon_\beta(p_1, \lambda_1) (p_1^2 - m_n^2) (p_2^2 - m_n^2) \frac{1}{F_n^2}, \quad (23)$$

ifadəsinə vururuq və  $p_1^2 \rightarrow m_n^2$  və  $p_2^2 \rightarrow m_n^2$  limiti götürürük.

Tam təsirin aşağıdakı hissəsini düşünək, (3) bərabərliyi

$$S_V = -\frac{1}{4g_5^2} \int d^5 x \sqrt{g} g^{lm} g^{pn} F_{mn}^a F_{lp}^a \quad (24)$$

olur. Bu ifadədə təkə  $hVV$  həddləri 3 nöqtəli funksiyalara əlavə verir,

$$\langle 0 | T J^\alpha(x) \hat{T}^{\mu\nu} J^\beta(\omega) | 0 \rangle = \frac{-2\delta^3 S}{\delta V_\alpha^0(x) \delta h_{\mu\nu}^0(y) \delta V_\beta^0(\omega)}, \quad (25)$$

harada ki, funksional törəmə  $h^0 = V^0 = 0$  qiymətində hesablanır.

3 nöqtəli funksiya əlavə verən təsirdəki münasib həddlər bu şəkildə yazılır:

$$S_V \cong \frac{1}{2g_5^2} \int \frac{d^5 x}{z} (\eta^{\rho\gamma} \eta^{\sigma\delta} h_{\gamma\delta} [-F_{\sigma z} F_{\rho z} + \eta^{\alpha\beta} F_{\sigma\alpha} F_{\rho\beta}]), \quad (26)$$

(25) bərabərliyindəki enerji-impuls tenzoru eninə və izsiz olmalıdır. Buna görə eninə-izsiz proyektor tətbiq edilə bilər, bu zaman

$$\eta^{\rho\gamma} \eta^{\sigma\delta} h_{\gamma\delta} \rightarrow h_{\gamma\delta} \left[ \left( \eta^{\rho\gamma} - \frac{q^\rho q^\gamma}{q^2} \right) \left( \eta^{\sigma\delta} - \frac{q^\sigma q^\delta}{q^2} \right) - \frac{1}{3} \left( \eta^{\rho\sigma} - \frac{q^\rho q^\sigma}{q^2} \right) \left( \eta^{\gamma\delta} - \frac{q^\gamma q^\delta}{q^2} \right) \right] \quad (27)$$

olur.

Funksional törəmələri aldıqdan sonra 3 nöqtəli funksiyaadan qravitasiya form faktorunun ifadəsini aldıqda bərabərlik aşağıdakı şəkildə düşür:

$$\langle \rho_n^a(p_2, \lambda_2) | \hat{T}^{\mu\nu}(q) | \rho_n^b(p_1, \lambda_1) \rangle = (2\pi)^4 \delta^{(4)}(q + p_1 - p_2) \delta^{ab} \varepsilon_{2\alpha}^* \varepsilon_{1\beta} \times \\ \left[ -A(q^2) (4q^{[\alpha} \eta^{\beta](\mu} p^{\nu)} + 2\eta^{\alpha\beta} p^\mu p^\nu) - \frac{1}{2} \hat{C}(q^2) \eta^{\alpha\beta} (q^2 \eta^{\mu\nu} - q^\mu q^\nu) + \right. \\ \left. D(q^2) (q^2 \eta^{\alpha(\mu} \eta^{\nu)\beta} - 2q^{(\mu} \eta^{\nu)\alpha} q^\beta) + \eta^{\mu\nu} q^\alpha q^\beta) - \hat{F}(q^2) \frac{q^\alpha q^\beta}{m_n^2} (q^2 \eta^{\mu\nu} - q^\mu q^\nu) \right]. \quad (28)$$

Burada,  $p = (p_1 + p_2)/2$ ,  $q = p_1 - p_2$ ,  $a^{[\alpha} b^{\beta]} = (a^\alpha b^\beta - a^\beta b^\alpha)/2$  və  $a^{(\alpha} b^{\beta)} = (a^\alpha b^\beta + a^\beta b^\alpha)/2$ .

İnvariant funksiyalar ilə qravitasiya form faktorları fəzaya bənzər impuls ötürülməsi üçün bu şəkildə olur:

$$A(q^2) = Z_2, \\ \hat{C}(q^2) = \frac{1}{q^2} \left( \frac{4}{3} Z_1 + \left( q^2 - \frac{8m_n^2}{3} \right) Z_2 \right), \\ D(q^2) = \frac{2}{q^2} Z_1 + \left( 1 - \frac{2m_n^2}{q^2} \right) Z_2, \\ \hat{F}(q^2) = \frac{4m_n^2}{3q^4} (Z_1 - m_n^2 Z_2), \quad (29)$$

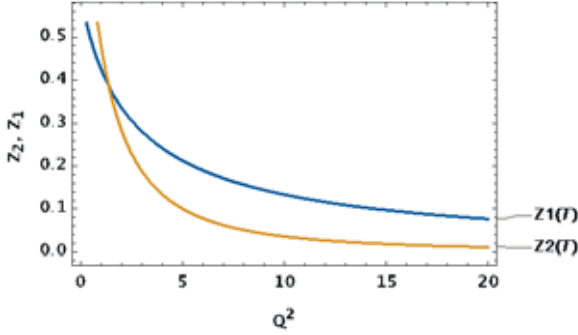
ilə  $Z_1$  və  $Z_2$  bu oblastda aşağıdakı şəkildə yazılır:

$$\begin{aligned}
Z_1 &= \int \frac{dz}{z} \mathcal{H}(Q, z) \partial_z \psi_n \partial_z \psi_n, \\
Z_2 &= \int \frac{dz}{z} \mathcal{H}(Q, z) \psi_n \psi_n.
\end{aligned} \tag{30}$$

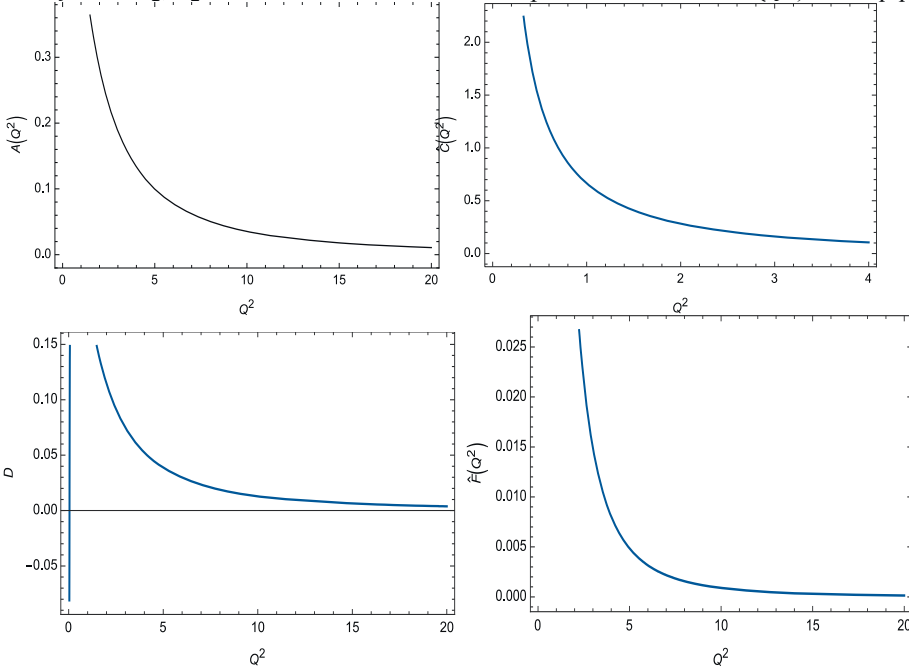
Fəzaya bənzər impuls ötürülməsi üçün  $q^2 = -Q^2 < 0$  (8) həllinə uyğun aşağıdakı kimi yazılır:

$$\mathcal{H}(Q, z) = \frac{1}{2} Q^2 z^2 \left( \frac{K_1(Qz_0)}{I_1(Qz_0)} I_2(Qz) + K_2(Qz) \right).$$

$z_0 = 1/\Lambda_{QCD}$  parametri  $m_\rho = 0.77 \text{ GeV}$   $\rho$  mezonun kütləsinin təcrübi qiyməti ilə müəyyənləşdirilir.  $z_0$  parametri uyğun olaraq  $3.1 \text{ GeV}$  qiymətini alır.



**Sə. 1.**  $Z_1, Z_2$  form faktorlarının ötürülən impulsun kvadratından ( $Q^2$ ) asılılıq qrafiki.



**Sə. 2.**  $A(q^2), \hat{C}(q^2), D(q^2), \hat{F}(q^2)$  invariant funksiyalarının ötürülən impulsun kvadratından ( $Q^2$ ) asılılıq qrafiki.

## ƏDƏBİYYAT

1. Maldacena J.M., Adv. Theor. Math. Phys. 2, 231 (1998) [Int. J. Theor. Phys. 38, 1113 (1999)].
2. Sakai T. and Sugimoto S. Prog. Theor. Phys. 113, 843 (2005).
3. Hirn J. and Sanz V. JHEP 0512, 030 (2005).
4. Karch A. and Katz E. JHEP 0206, 043 (2002).
5. Erlich J., Katz E., Son D.T. and Stephanov M.A. Phys. Rev. Lett. 95, 261602 (2005).
6. Da Rold L. and Pomarol A. Nucl. Phys. B 721, 79 (2005).
7. Teramond G.F. de and Brodsky S. J. Phys. Rev. Lett. 94, 201601 (2005).
8. Brodsky S.J. and Teramond G.F. de Phys. Rev. Lett. 96, 201601 (2006).
9. A.Karch, E.Katz, D.T. Son and Stephanov M.A. Phys. Rev. D 74, 015005 (2006).
10. Arkani-Hamed N., Porrati M. and Randall L. JHEP 0108, 017 (2001).
11. Ji X.D. Phys. Rev. Lett. 78, 610 (1997).
12. A number of reviews are available, including K.Goeke, M.V.Polyakov and M.Vanderhaghen, Prog. Part. Nucl. Phys. 47, 401 (2001); M.Diehl, Phys. Rept. 388, 41 (2003); A.V.Belitsky and A.V.Radyushkin, Phys. Rept. 418, 1 (2005); and S. Boffi and B. Pasquini.
13. Kwee H.J. and Lebed R.F.
14. Brodsky S.J. and Teramond G.F. de.

## ГРАВИТАЦИОННЫЕ ФОРМ ФАКТОРЫ ВЕКТОРНЫХ МЕЗОНОВ В МОДЕЛИ АдС/КХД

Ш.А.МАМЕДОВ, М.Н.АЛЛАХВЕРДИЕВА

### РЕЗЮМЕ

Мы вычислили гравитационные форм факторы векторных мезонов, используя соответствие АдС/КТП. Мы дали правила сумм, связывающие гравитационные форм факторы с обобщёнными распределениями партонов векторных мезонов, которые также можно назвать форм факторами тензора напряженностей или тензора энергии-импульса.

**Ключевые слова:** АдС/КТП соответствие, модель твердой стены, нуклон.

## GRAVITATIONAL FORM FACTORS OF VECTOR MESONS IN AN AdS/QCD MODEL

Sh.A.MAMEDOV, M.N.ALLAHVERDIYEVA

### SUMMARY

We calculated the gravitational form factors of vector mesons using AdS / CFT correspondence. We have given sum rules linking gravitational form factors to vector meson GPDs, which can also be called stress tensor or energy-momentum tensor form factors.

**Keywords:** AdS/CFT correspondence, hard-wall model, nucleon.